

ЭПР  $\text{SrWO}_4 : \text{Er}^{3+}$  В СУБМИЛЛИМЕТРОВОМ ДИАПАЗОНЕ

В. Ф. Тарасов, Г. С. Шакуров

Редкоземельные ионы в кристаллах со структурой шеелита интенсивно изучались ранее. Имеется ряд работ по ЭПР и спин-решеточной релаксации (СРР) [1], электронному спиновому эху [2], оптическим и магнитным свойствам [3] этих тетрагональных кристаллов с точечной симметрией редкоземельного иона  $S_{\frac{1}{2}}$ .

Спектры  $\text{Er}^{3+}$  в  $\text{SrWO}_4$  исследовались в статье [2], где авторы измерили  $g_{\perp}$  и  $g_{\parallel}$  основного дублета и их сдвиги под влиянием электрического поля. В работе [1] измерены  $g$ -факторы основного и первого возбужденного дублетов и из зависимости времени СРР от температуры определено расстояние в нулевом поле до первого и второго возбужденных дублетов.

Данная работа посвящена ЭПР  $\text{Er}^{3+}$  в  $\text{SrWO}_4$  в субмиллиметровом диапазоне  $250 < \nu < 500$  ГГц в магнитных полях до 0.8 Т при температуре 4.2 К. Впервые прямым методом было измерено расстояние до первого возбужденного дублета. Исследовались спектры ЭПР, их полевая и ориентационная зависимости. Полученные результаты хорошо согласуются с теоретическими кривыми.

Измерения были выполнены на квазиоптическом субмиллиметровом спектрометре ЭПР. В качестве генераторов использовались лампы обратной волны. Приемником служил кристалл  $n\text{-InSb}$ . Подробное описание спектрометра сделано ранее [4]. Образец  $\text{SrWO}_4 : \text{Er}^{3+}$ , 0.2% представлял собой плоскопараллельную пластину толщиной 1.8 мм, овальной формы с максимальным и минимальным размерами 10 и 7.5 мм соответственно.

На рис. 1 показана зависимость частоты переходов от магнитного поля для  $B \perp c$  и  $B \parallel c$ . В малых полях все линии сходятся к частоте  $\nu = 369 \pm 0.5$  ГГц  $\times (12.3 \pm 0.03 \text{ см}^{-1})$ . Это значение было измерено непосредственно в нулевом поле, причем ошибка измерения обусловлена в основном погрешностью резонансного волномера, используемого для измерения рабочей частоты спектрометра. Полученное в работе [1] значение ( $10.5 \text{ см}^{-1}$ ) объясняется невысокой точностью

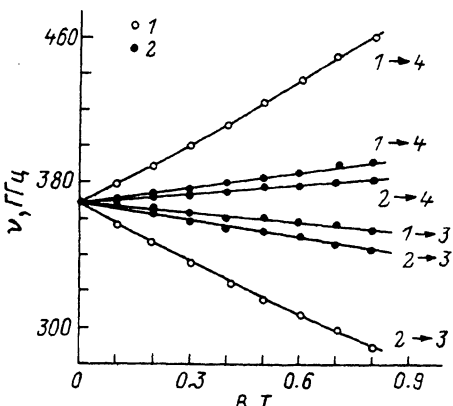


Рис. 1. Зависимость частоты перехода от магнитного поля.  $B \perp c$  (1),  $B \parallel c$  (2).

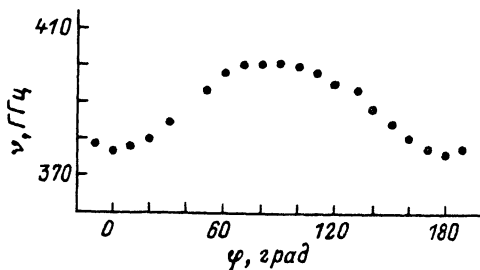


Рис. 2. Ориентационная зависимость перехода  $I \rightarrow 4$  для  $B = 0.3$  Т.

метода определения расщепления по температурной зависимости СРР. Для  $B \parallel c$  наблюдались переходы  $1 \rightarrow 4$ ,  $1 \rightarrow 3$ ,  $2 \rightarrow 4$  и  $2 \rightarrow 3$  между подуровнями основного ( $J_1, 2$ ) и первого возбужденного ( $3, 4$ ) дублетов. Определены  $g$ -факторы этих дублетов, значения которых ( $g_1^0 = 0.9 \pm 0.1$  и  $g_1^1 = 3.4 \pm 0.1$ ) хорошо согласуются с приведенными в работе [1] ( $g_1^0 = 0.86$  и  $g_1^1 = 3.374$ ). В ориентации  $B \perp c$  наблюдались лишь два перехода.

На рис. 2 приведена угловая зависимость спектра ЭПР в поле 0.3 Т, откуда следует, что сигналы ЭПР, наблюдаемые при  $B \perp c$ , — это переходы  $1 \rightarrow 4$  и  $2 \rightarrow 3$ . Исследовалась также зависимость амплитуды сигнала от поляризации падающей СВЧ волны  $B_1$ . Максимальный сигнал был при  $B_1 \perp B$ , при  $B_1 \parallel B$  сигналы ЭПР не наблюдались. Ширина линий была порядка 550—600 МГц.

Для расчета положения энергетических уровней  $Eg^{3+}(4f^{11}, ^4I_{15/2})$  мы ограничились основным и первым возбужденным дублетами, не учитывая влияния вышележащих дублетов. Подобное допущение оправдано тем, что второй возбужденный дублет отделен от основного интервалом  $33 \text{ см}^{-1}$  [1], что в  $\sim 3$  раза больше расстояния до первого возбужденного дублета.

Зависимость энергетических уровней от магнитного поля может быть получена из зеемановского гамильтонiana

$$H_z = g_J \beta H J$$

и волновых функций дублетов. В общем виде волновые функции основного  $\Gamma_{5,6}$  и возбужденного  $\Gamma_{7,8}$  дублетов записываются следующим образом [3]:

$$\Gamma_{5,6} = a_1 | \pm 13/2 \rangle + a_2 | \pm 5/2 \rangle + a_3 | \mp 3/2 \rangle + a_4 | \mp 11/2 \rangle,$$

$$\Gamma_{7,8} = a'_1 | \pm 15/2 \rangle + a'_2 | \pm 7/2 \rangle + a'_3 | \mp 1/2 \rangle + a'_4 | \mp 9/2 \rangle.$$

Диагонализация секулярного управления, куда, кроме зеемановских членов, входит величина расщепления в нулевом поле, дает искомое решение. Для  $B \parallel c$  значения  $g$ -факторов взяты из настоящей работы. В данном случае матрица диагональна, зависимости энергии от магнитного поля линейны. Для  $B \perp c$  расчет проведен по теории возмущений. Полагаем  $E_0^0$  и  $E_0^1$  двукратно вырожденными в отсутствие внешнего магнитного поля значениями энергии основного и возбужденного дублетов. Поправкой первого порядка считаем значения энергии  $E_1^{1,2} = \pm g_1^0 \beta H / 2$  для основного и  $E_1^{3,4} = \pm g_1^1 \beta H / 2$  для возбужденного дублетов, т. е. не учитываем зеемановские члены, связывающие разные дублеты. Величины  $g_1^0 = 8.47$  и  $g_1^1 = 6.93$  взяты из работы [1]. Для определения поправки второго порядка воспользуемся известной формулой

$$E_2^n = E_1^n + \sum \frac{|H|_{nm}^2}{E_1^n - E_1^m},$$

где  $|H_{nm}|^2$  в данном случае равно  $g_1^2 \beta^2 H^2 |\langle \Gamma_{5,6} | J_x | \Gamma_{7,8} \rangle|^2$ , причем индексы  $n$  и  $m$  относятся к разным дублетам. Величина интеграла  $|\langle \Gamma_{5,6} | J_x | \Gamma_{7,8} \rangle|$  была вычислена по полевой зависимости сигналов ЭПР при  $B \perp c$  с помощью метода наименьших квадратов, минимизировавшего отклонения экспериментальных точек от значений, получаемых из теории возмущений. Мы получили  $|\langle \Gamma_{5,6} | J_x | \Gamma_{7,8} \rangle| = 2.49$ .

Применимость теории возмущений в данном случае обосновывается тем, что условие

$$|g\beta H \langle \Gamma_{5,6} | J_x | \Gamma_{7,8} \rangle| << |E_1'' - E_1'''|$$

выполняется для всех магнитных полей, при которых выполнены измерения.

Полученные расчетные значения для  $B \parallel c$  и  $B \perp c$  показаны на рис. 1 сплошными линиями. Сравнение экспериментальных и теоретических результатов показывает, что между ними получено хорошее согласие. Необходимо, однако, отметить, что нет полной ясности в понимании количества наблюдаемых линий в ориентации  $B \parallel c$ . Теоретические кривые на рис. 1 построены достаточно формально как разности существующих энергетических уровней. Оценка вероятности переходов между подуровнями дублетов показывает, что при  $B \parallel c$  должны быть только две линии ЭПР. Отметим, что запрещенные переходы наблюдались и в других работах, посвященных ЭПР с большим расщеплением в нулевом поле [5, 6], где авторы или не обсуждают эту проблему, или объясняют наличие переходов смешиванием волновых функций за счет сильного спин-фононного взаимодействия. Мы предполагаем, что в нашем случае дополнительные переходы могут быть обязаны электрическим дипольным переходам, вызываемым электрической составляющей СВЧ излучения, падающего на образец.

Выражаем благодарность М. М. Зарипову за интерес к работе и полезные дискуссии и И. Н. Куркину за предоставление образцов.

#### Список литературы

- [1] Куркин И. Н., Цветков Е. А. // ФТТ. 1969. Т. 11. № 12. С. 3610—3613.
- [2] Mims W. B., Mashur G. I. // Phys. Rev. 1972. V. B5. N 9. P. 3605—3609.
- [3] Enrique Bernal G. // J. Chem. Phys. 1971. V. 55. N 5. P. 2538—2549.
- [4] Tarasov V. F., Shakurov G. S. // Appl. Magn. Res. 1991. V. 2. N. 3. P. 571—576.
- [5] Magarino J. et. al. // Phys. Rev. 1980. V. B21. N 1. P. 18—28.
- [6] Лукин С. Н., Прохоров А. Д., Тесля О. П. // ЖЭТФ. 1991. Т. 100. № 6. С. 1939—1944.

Казанский  
физико-технический институт РАН

Поступило в Редакцию  
15 июня 1992 г.

---

© Физика твердого тела, том 35, № 1, 1993  
Solid State Physics, vol. 35, N 1, 1993

## ФОТОУПРУГИЕ И УПРУГИЕ СВОЙСТВА $Rb_4CdBr_6$

А. В. Замков, Л. А. Шабанова, В. А. Гранкина

Одной из задач, определяемых потребностями оптоэлектроники, является создание акустооптических устройств для работы в широкой области световых длин волн. С этой точки зрения определенный интерес представляют галоидные соединения со структурой катунита и первовскита, имеющие область прозрачности более 25 мкм. У некоторых представителей этих семейств обнаружены высокие значения коэффициентов акустооптического качества  $M_2$  ( $CsPbCl_3$ ,  $PbCl_2$ ,  $PbBr_2$ ,  $TlPbI_3$ ,  $M_2$  соответственно 33, 136, 428,  $864 \cdot 10^{-18}$  ед. СГС [<sup>1, 2</sup>]).